

## 濃尾平野の地下水変動

名古屋大学工学部 正員 横下 協

名古屋大学工学部 正員 高木不折

名古屋大学大学院口学生員 所裕司

## 1 まえがき

濃尾平野は、広範囲にわたりゼロメートル地帯をかかえ、しかも地盤沈下が激しく進行しており、その対策が急がれています。地盤沈下対策には、地下水の水収支機構の解明が必要条件であり、また、それは、良質な水資源である地下水の利用計画を考える場合の指針となるものである。筆者は、帶水層のモデルを設定し、實際の揚水量を入力として、地下水位をシミュレートすることによって、各帶水層の特性を把握していくことを目的とする。本稿では、オーナメントとして、資料整理とモデル設定について報告する。

## 2 地下水盆地と水位変動の概要

Fig. 2 に示すように、地層は全体的に北東から南西に向って傾斜している。北部は木曽、伊川、揖斐川が形成した扇状地になってしまっており、各帶水層は  $\gamma$  付近で未分化の状態になっている。濃尾平野で揚水されている主な帶水層は、第1帶水層(G1層)と第2帶水層(G2層)であり、 $\gamma$  付近の帶水層で全揚水量の約60%を占めている。井戸涌出時の測定自然水位から復元土壌中の水位分布図より、G1層の太線のワクの平均水位低下速度を概算すると、昭和35年から昭和48年では年平均30cm/年であり、昭和44年から48年の低下速度は46cm/年で増加傾向にある。

## 3. 境界条件

i) 水収支を検討するためには、境界を設定しなければならない。比較的狭い領域で短期間の地下水位変動解析においては、影響圏ほど、人为的境界を設定しても十分有効な解析が可能である。しかし、長期間の変動を対象とする場合は、影響圏は時間の経過とともに拡大していき、連続した帶水層は 1つの単元として取り扱う方がより合理的である。本研究では、北、東、西側の境界には、第3紀層の露出地帯をとり、 $\gamma$  地帯で帶水層は正切らぬこととされるので、これらの境界を不透水層とした。一方、南側(海側)境界は、水位低下傾向より海水と平衡していないことが示唆されており、この境界を不透水層とした。計算領域は Fig. 1 の太線のワクのようになり、南北 925m、東西 1135m の mesh 1=

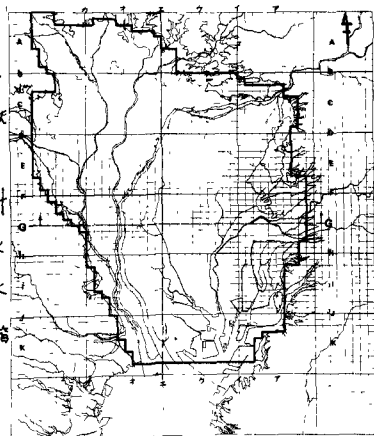


Fig. 1

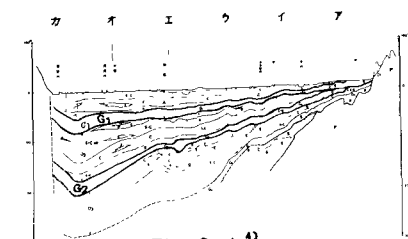


Fig. 2-1

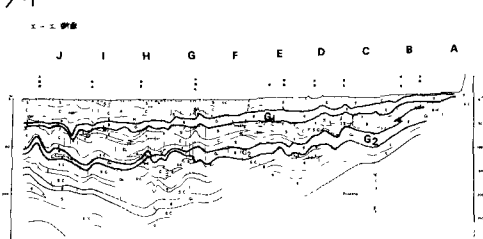


Fig. 2-2

分割した。計算領域の全 mesh 数は 1513 個で、総面積 18 1588 km<sup>2</sup> である。

ii) 鉛直方向境界：比較的地層構成の明らかになつていき G1 層、G2 層を計算対象とし G2 層下部の粘土層と不透水層とみなしてい。

iii) 揚水量：計算領域内のすべての井戸に  $\rightarrow$  Fig 1 の 1 mesh ごとに 年度別、帶水層別に集計した。2 以上 の帶水層から取水している井戸の場合は 揚水量では 各層の水頭が同一であるとみなす。ストレートの意义上に比例して配分した。以上の方法で集計した揚水量の計算領域全体の経年変化を Fig 3 に示す。

iv) 透水量係数、貯留係数：地層図より各帶水層の厚さと読みとり、これらに揚水試験で求められた各透水俢数を乗じて求めた。貯留俢数は Domenico<sup>2)</sup>の代表値を用いた。

以上の設定で 昭和 36 年の水頭を初期値として time step 1 年で各年次の水頭を差分計算し 昭和 48 年の実測水頭に一致するように、貯留俢数 透水量俢数を補正し、モデルを固定していく。モデルを概略的に示すと Fig 4 のようになる。この計算には 基礎資料の精度 差分の安定条件等の問題が残されており、現在進行中であるが、これらの問題に関して御意見が伺えれば幸いである。

参考までに計算法を示すと以下のようにある。

$$\frac{\partial}{\partial x} \left( T \frac{\partial h}{\partial x} \right) + \frac{\partial}{\partial y} \left( T \frac{\partial h}{\partial y} \right) = S \frac{\partial h}{\partial t} + W + L \quad \dots (1)$$

この式を差分法 (ADI 法) で解く。k 期から、k+1 期までは、x 方向に時間で  $\frac{1}{2}$  進める。

$$T_{i,j-\frac{1}{2}} \left( \frac{h_{i,j+1}^{k+1} - h_{i,j}^k}{\Delta x^2} \right) + T_{i,j+\frac{1}{2}} \left( \frac{h_{i,j+1}^{k+1} - h_{i,j}^k}{\Delta x^2} \right) + T_{i+1,j} \left( \frac{h_{i+1,j}^{k+1} - h_{i,j}^k}{\Delta y^2} \right) + T_{i-1,j} \left( \frac{h_{i-1,j}^{k+1} - h_{i,j}^k}{\Delta y^2} \right) = 2S_{i,j} \frac{h_{i,j}^k - h_{i,j}^{k+1}}{\Delta t} - R_i \frac{H_0 - h_{i,j}^k}{Z_1} \quad (2)$$

$$T_{i,j-\frac{1}{2}}' \left( \frac{h_{i,j+1}^{k+1} - q_{i,j}^k}{\Delta x^2} \right) + T_{i,j+\frac{1}{2}}' \left( \frac{h_{i,j+1}^{k+1} - q_{i,j}^k}{\Delta x^2} \right) + T_{i+1,j}' \left( \frac{h_{i+1,j}^{k+1} - q_{i,j}^k}{\Delta y^2} \right) + T_{i-1,j}' \left( \frac{h_{i-1,j}^{k+1} - q_{i,j}^k}{\Delta y^2} \right) = 2S_{i,j}' \frac{q_{i,j}^k - q_{i,j}^{k+1}}{\Delta t} - R_i \frac{H_0 - q_{i,j}^k}{Z_2} + W_{i,j} \quad (3)$$

$h$ ；G1 層の水頭、 $q$ ；G2 層の水頭、 $T$ ；G1 層の透水量俢数、 $T'$ ；G2 層の透水量俢数、 $S$ ；貯留俢数  $W$ 、揚水量、 $H_0$ ；不透水頭、 $L$ ；漏水量、 $(q_{i,j}^k, v_{i,j}^k)$  は G2 層  $a$  の  $i, j$  を示す。

G1 層と G2 層は 漏水量を媒介として連結されており、(2) 式本区第 3 項  $q_{i,j}^k$  は  $q_{i,j}^k$  を  $q_{i,j}^{k+1}$  に近似したものである。k+1 期から k+1 期の計算は 同様の方法で x 方向に時間で  $\frac{1}{2}$  進める。

### 参考文献

- 1) 飯田義郎「地盤汎下の実験とその対策」(関西調査研究報告書、昭和 50 年 3 月、奈良県環境部 地盤汎下研究会)
- 2) Domenico, Concepts and Models in Groundwater Hydrology (1972)

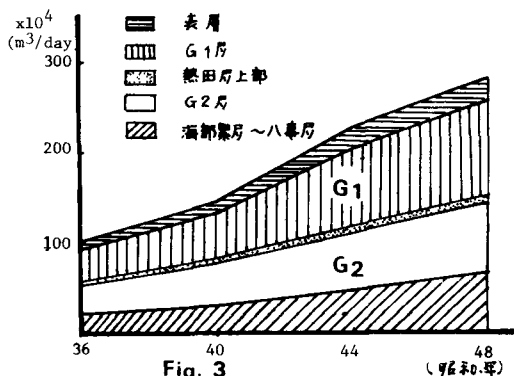


Fig. 3

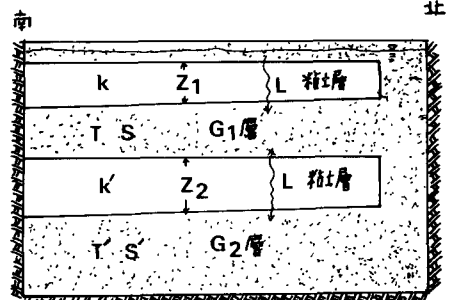


Fig. 4

